

Dışsel CL I, İskeletsel CL I, CL II, CL III İlişkili Bireylerde Yumuşak Doku Değişimleri

Yrd. Doç. Dr. Yaşa GÖYENCİ*
Dr. M. İrfan KARADEDE***

Dr. Ergin ŞENER**
Dr. Sedat BARAN***

ÖZET: Bu çalışmanın amacı dışsel CL I, İskeletsel CL I, CL II, CL III, ilişkili bireylerde kompansasyon mekanizmasının yumuşak doku üzerine etkilerini incelemektir. Çalışmamızda artmış overjeti, ön çapraz kapanışı ve aşırı çapraşlığı olan bireyler hariç tutulmak kaydı ile 67 bireyden alınan lateral sefalometrik filmler kullanılmış; filmlerde 6 sert doku, 9 yumuşak doku ölçümü uygulanmış; CL I, CL II, CL III, gruplarına ait bulgular istatistiksel olarak değerlendirilmiştir. Sonuç olarak, İskeletsel CL II grubunda alt keserlerin protruzyonu, İskeletsel CL III grubunda üst keserlerin protruzyonu, İskeletsel CL II grubunda alt dudak kalınlığında artış, İskeletsel CL III grubunda üst dudak kalınlığında artış olduğu görülmüş; ancak bu değişikliklerin yumuşak doku profilinin düzeltmesi için yeterli olmadığı anlaşılmıştır.

Anahtar Kelimeler: Yumuşak doku değişimleri, Kompansasyon.

SUMMARY: SOFT TISSUE CHANGES IN INDIVIDUALS WITH DENTAL CLASS I, SKELETAL CLASS I, CLASS II, CLASS III. The aim of this study is to evaluate the effect in soft tissue of compensation mechanism in the individuals with dental Class I, skeletal Class I, Class II, Class III. In this study, the individuals with excess overjet, anterior crossbite and over crowding have not been included. The study depends on lateral cephalometric films of 67 persons. 6 hard tissue, 9 soft tissue measurements have been made on films. The findings of Class I, Class II, Class III groups have been evaluated by statistical methods. As a result of, it was found that there were protrusion of lower incisors in Class II skeletal group, protrusion of upper incisors in Class III skeletal group, increase of thickness of lower lip in Class II skeletal group, increase of thickness of upper lip in Class III skeletal group. But, these variations are not adequate in correction of soft tissue profil.

Key Words: Soft Tissue Changes, Compensation.

GİRİŞ

Bilindiği gibi ortodontide sagittal yön ilişkileri dışsel ve iskeletsel olarak ikiye ayrılmaktadır. Dışsel Class I ilişki "üst altı yaş dişinin mesio buccal tüberkülü, alt altı yaş dişinin mesiobuccal oluguna oturur" şeklinde tanımlanmaktadır; iskeletsel sagittal yön ilişkileri ise genellikle ANB açısına göre değerlendirilmektedir (6, 12).

Bireyler dışsel Class I ilişki gösternesine karşın iskeletsel Class I, Class II, Class III ilişki gösterebilmektedir. Mixt dentition dönemi başlangıcında sagittal yönde tüberkul tü-

berküle ilişki gösteren altı yaş dişleri; alt çenenin gelişim hamlesinin üst çeneden fazla olması, leeway yer rezervini ve maymun diastemalarını kullanarak mesiale hareketi sayesinde Class I ilişkiye otururlar (15). Bu hassas denge süt dişlerinin ileri derecede harabiyeti, süt dişlerinin kaybedilmesi sonucunda bozulur. Class I ilişkiye oturacak altı yaş dişleri Class II veya Class III ilişkiye; Class II veya Class III ilişkiye oturacak altı yaş dişleri Class I ilişkiye oturabilemektedir. Ancak böyle olgularda posterior bölgede Class I ilişki gözlenmesine karşın anterior bölgede artmış overjet, ön çapraz kapanış gibi Class II ve Class III ilişki belirtileri gözlenmektedir.

* Selçuk Üniversitesi Dişhekimliği Fakültesi Ortodonti Anabilim Dalı Öğretim Üyesi.

** Serbest Ortodontist.

*** Dicle Üniversitesi Dişhekimliği Fakültesi Ortodonti Anabilim Dalı Araştırma Görevlisi.

İskeletsel yapıların yumuşak dokuyu etkileyerek yumuşak doku ilişkilerinde de değişiklikler oluşturduğu bir çok araştırmacı tarafından bildirilmektedir (2, 11). Ortodontik tedavi sonucu dişsel ve iskeletsel ilişki düzeltilmiş olsa da bunu asıl ortaya koyan bireyin yumuşak doku ilişkisi ve görüntüsüdür (11, 13).

Araştırmamızın amacı Dişsel Cl I ilişkiye sahip, iskeletsel Cl I, Cl II Cl III ilişkisi gösteren ancak anterior bölgede artmış overjet, ön çapraz kapanış gibi belirtiler göstermeyen bireylerde bu kompanzasyon mekanizmasının yumuşak doku üzerine etkilerini ortaya koymaktır.

MATERIAL VE METOD

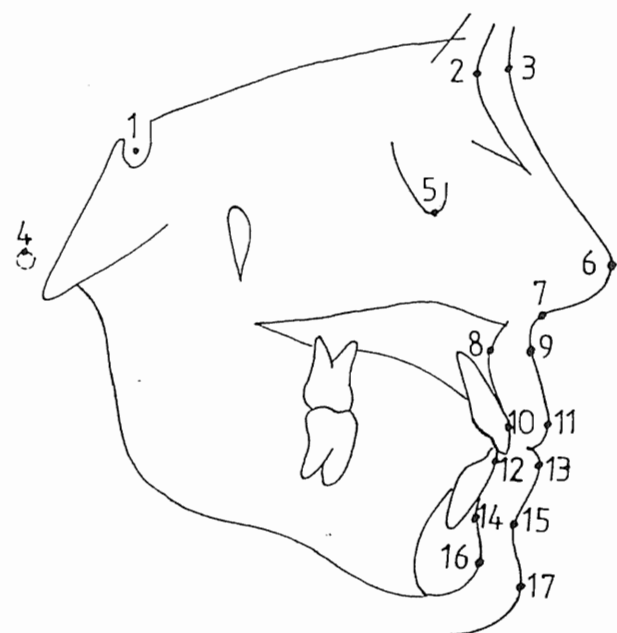
Araştırmamızın gerecini Dicle Üniversitesi Dişhekimliği Fakültesi Ortodonti Anabilim Dalı arşivinden alınan, erişkin, Dişsel Cl I ilişkiye sahip, artmış overjeti, ön çapraz kapanışı ve ileri derecede çaprazlığı olmayan 28 kız, 39 erkek, toplam 67 bireyin lateral sefalometrik grafileri oluşturmaktadır. Bu bireyler ANB açılarına göre 2-4° arası Cl I, 4<Cl II 2> Cl III olmak üzere 3 gruba ayrılmış, her bir grup kendi içinde kızlar ve erkekler olmak üzere ikiye ayrılmıştır. Araştırmamızda bireylerin gruplara göre dağılımı Tablo I'de verilmiştir.

Tablo. I- Bireylerin Gruplara Göre Dağılımı.

	KIZ	ERKEK	TOPLAM
CL I	8	15	23
CL II	9	9	18
CL III	11	15	26
TOPLAM	28	39	67

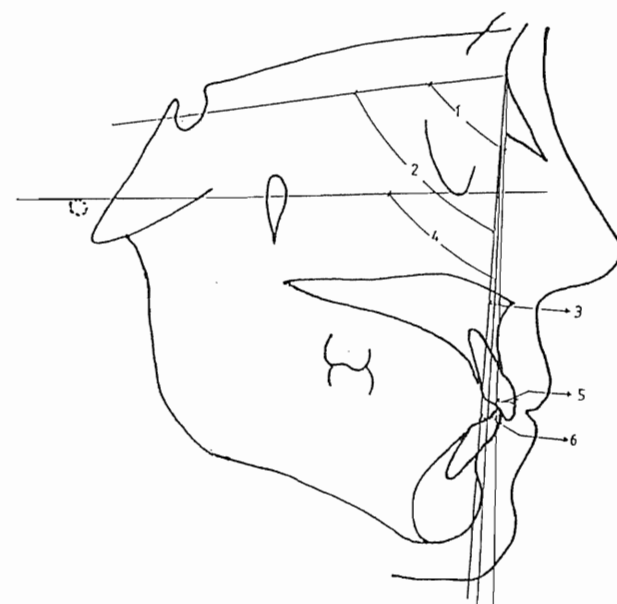
Dişsel Cl I, iskeletsel Cl I, Cl II, Cl III ilişkisi gösteren bireylerde kompanzasyon mekanizmasının yumuşak doku üzerine etkilerini ortaya koymak amacıyla sefalometrik grafilerin çizimleri yapılmış bu çizimler üzerine toplam 17 nokta işaretlenmiş, 6 sert doku, 9 yumuşak doku ölçümleri yapılmıştır (2, 8, 12, 14). İşaretlenen noktalar: 1. S: Sella, 2. N: Nasion, 3. N': Yumuşak doku Nasion noktası, 4. Po: Anatomik Porion noktası, 5. Or: Orbitale noktası, 6. Prn: Pronasale noktası, 7. Sn: Sousnasale noktası, 8. A noktası, 9. A': Yumuşak Doku A noktası, 10. 1: Üst kesici noktası, 11. UL: Üst dudak noktası, 12. 1: Alt kesici noktası, 13. LL: Alt dudak noktası, 14. B noktası,

15. B': yumuşak doku B noktası, 16. Pg: Pogonion noktası, 17. Pg': Yumuşak doku Pogonion noktasıdır (Şekil 1). İşaretlenen bu nok-



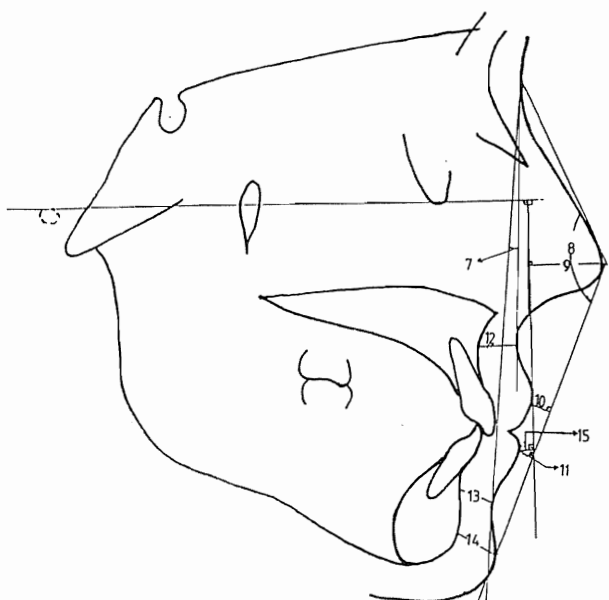
Şekil. 1- Araştırmada Kullanılan Noktalar.

talar yardımı ile 6 sert doku ölçümlü [1. SNA açısı, 2. SNB açısı, 3. ANB açısı, 4. Facial açı: FH-NPg, 5. 1-NA (mm), 6. 1-NB (mm) (Şekil 2)]; 9 yumuşak doku ölçümlü [7. A'N'B' açı-



Şekil. 2- Sert Doku Ölçümleri.

8. N'PrnPg': Total yüz konveksite açısı, 9. Sn-Prn: FH düzlemine Sn noktasından indirilen dik doğru ile Prn noktası arasındaki en kısa mesafe olarak belirlenmiştir, 10. UL-E: UL noktası ile E doğrusu arasındaki en kısa mesafedir, 11. LL-E: LL noktası ile E doğrusu arasındaki en kısa mesafedir, 12. A-A', 13. B-B', 14. Pg-Pg', 15. FH \perp UL-LL: FH düzleminde UL noktasına indirilen dik doğru ile LL noktasının arasındaki en kısa mesafedir (Şekil III) yapılmıştır. 10., 11., 15., ölçümlerde referans doğrusunun gerisinde kalan ölçümler (-), önünde kalan ölçümler (+) olarak değerlendirilmiştir.



Şekil. 3- Yumuşak Doku Ölçümleri.

Her bir ölçümün aritmatik ortalamaları alınmış; gruplara ait ortalamalar Student-t testi uygulanarak istatiksel olarak karşılaştırılmış ve değerlendirilmiştir (3, 4).

BULGULAR

Kız ve erkeklerin karşılaştırılmalarına ait bulgular Tablo II'de, Cl. I-Cl. II grupları arasındaki karşılaştırmalara ait bulgular Tablo III'de, Cl. I-Cl. III grupları arasındaki karşılaştırmalara ait bulgular Tablo IV'de, Cl. II-Cl. III grupları arasındaki karşılaştırmalara ait bulgular Tablo V'de verilmiştir.

A. Kız ve Erkek Grupları Arasındaki Farklılıklar

Cl. I grubu kızlarda erkeklerde nazarın alt keserlerin daha protrusiv olduğu, A-A' boyu-

tunun her üç grupta da, B-B' boyutunun Cl. I grubunda, Pg-Pg' boyutunun Cl. I ve Cl. III grubunda kızlarda daha az olduğu belirlenmiş; Cl. III grubunda kızlarda alt ve üst çene basal kaidesinin ön kafa kaidesine göre daha geride konumlandığı, yine Cl. III grubu kızlarda A'N'B' açısının daha küçük olduğu saptanmıştır.

B. Cl I-Cl II Grupları Arasındaki Farklılıklar

ANB açısı doğal olarak her üç grupta da Cl. II li bireylerde önemli derecede büyük olarak belirlenmiş; erkeklerde ve cinsiyet ayırimı gözetilmeksızın oluşturulan gruplarda, Cl. II bireylerde üst çene basal kaidesinin ön kafa kaidesine göre daha ileride konumlandığı, her üç grupta da alt keserleri Cl. II li bireylerde daha protrusiv olduğu saptanmıştır. Yumuşak doku değerlerinde ise A'N'B' açısının erkeklerde ve cinsiyet ayırimı gözetilmeksızın oluşturulan grupta, Cl. II li bireylerde önemli derecede büyülü gösterdiği, kızlara ait grupta, Cl. II li bireylerin daha konveks yüz yapısına sahip olduğu, erkeklerde ait grupta Sn-Prn boyutunun Cl. II li grupta daha küçük olduğu; erkeklerde ve cinsiyet ayırimı gözetilmeksızın oluşturulan gruplarda Cl. II li bireylerde üst dudağın E doğrusuna daha yakın konum aldığı, alt dudağın ise sadece erkeklerden oluşan grupta Cl. II li bireylerde E doğrusuna daha yakın olduğu saptanmıştır.

C. Cl I-Cl III Grupları Arasındaki Farklılıklar

Her üç grupta da Cl. III ilişkili bireylerde ANB açısının Cl. I ilişkili bireylere nazarın önemli derecede küçük olduğu, çene ucunun daha önde konumlandığı, üst keserlerin daha protrusiv olduğu, A'N'B' açısının daha küçük olduğu, Alt dudağın üst dudağa göre daha önde yer aldığı belirlenmiştir. Cl. III grubunda sadece kızlarda alt keserlerin daha retrusiv olduğu, kızlar ve cinsiyet ayırimı gözetilmeksızın oluşturulan gruplara ait Cl. III ilişkili bireylerde total yüz konveksite açısının artmış olduğu, alt ve üst dudağın E doğrusuna göre daha geride konumlandığı belirlenmiş; sadece erkeklerde ait Cl. III grubunda A-A' boyutunda bir artış olduğu saptanmıştır.

D. Cl II-Cl III Grupları Arasındaki Farklılıklar

Kızlarda, erkeklerde toplam bireylere ait Cl. III gruplarında ANB açısı önemli derecede

	CL I						CL II						CL III							
	KIZ			ERKEK			t	P<	test	KIZ			ERKEK			t	P<	test		
	X	S	X	X	S	X	S	X	S	X	S	X	S	X	S					
1 SMA	79.19	3.12	80.67	3.48	1.006	0.40	.82.50	3.94	83.72	3.08	0.732	.0.5	77.10	4.21	80.42	3.66	2.145	0.05 *		
2 SMC	76.13	2.89	77.77	3.18	1.472	0.20	76.72	3.24	77.83	3.06	0.747	.50	77.27	3.82	80.36	3.40	2.172	0.05 *		
3 ABS	3.06	0.73	3.10	0.79	0.119	0.95	5.78	1.33	5.89	1.05	0.195	.90	-0.18	1.12	0.06	1.35	0.481	0.70		
4 Facial sq	83.31	5.01	86.57	3.05	1.951	0.10	86.94	4.24	87.28	2.44	0.209	.90	87.50	3.13	89.86	3.30	1.841	0.10		
5 t-Na (mm)	5.28	1.83	4.73	1.72	0.715	0.50	4.67	1.27	3.94	3.21	0.635	.60	7.00	1.55	7.23	2.65	0.257	0.80		
6 T-NB (mm)	6.56	1.24	5.07	1.25	2.734	0.02	*	8.33	1.73	7.22	2.81	1.010	.040	4.73	1.37	4.73	2.36	0.000	1.00	
7 ATVS	6.94	1.72	7.60	1.37	1.010	0.40	8.39	1.69	10.00	1.94	1.877	.10	4.32	1.45	6.33	1.76	3.087	0.01 **		
8 N-Prn-Pg	128.90	4.20	129.00	4.08	0.033	0.98	122.60	5.66	129.20	5.46	2.141	0.05	*	131.86	4.99	130.86	6.32	1.302	0.30	
9 Sh-Prn	16.25	2.25	17.80	2.01	1.692	0.20	17.06	3.07	14.78	2.28	1.790	0.01	18.50	2.40	19.35	2.79	0.813	0.50		
10 ULE sənəmən	-4.06	2.27	-5.97	2.56	1.764	0.10	-3.22	2.99	-1.22	1.81	1.744	0.20	-7.82	3.00	-7.98	3.29	0.587	0.60		
11 ULE sənəmən	-1.19	1.77	-2.93	2.05	2.026	0.10	-1.67	3.79	-0.23	3.13	.840	0.50	-4.77	3.01	-4.09	3.16	0.548	0.60		
12 A'A'	15.69	2.12	18.70	2.13	3.234	0.01	**	14.78	1.39	18.11	1.64	4.648	0.00	**	15.50	1.77	20.63	2.13	6.486	0.001 ***
13 B'B'	12.00	1.31	13.40	1.28	2.473	0.05	*	12.78	1.64	14.28	2.20	1.641	0.20	11.95	0.72	12.64	1.26	1.621	0.20	
14 PnPg	12.75	1.28	14.37	1.77	2.282	0.05	*	14.17	2.89	14.33	2.99	0.115	.95	12.45	1.99	13.89	1.51	2.098	0.05 *	
15 PrLULL	-3.75	1.71	-3.00	1.38	1.145	0.30	-3.33	1.95	-3.89	1.76	0.639	0.60	-1.27	1.63	-1.40	1.27	0.225	0.90		

	KIZ												ERKEK												TOPLAM											
	CL I			CL II			t			p<			test			CL I			CL II			t			p<			test								
	x	s	x	x	s	x	x	s	x	x	s	x	s	x	s	x	s	x	s	x	s	x	s	x	s	x	s	x	s	x	s					
1 <i>SAHA</i>	79.19	3.12	82.50	3.94	1.904	0.10	80.67	3.48	83.72	3.08	2.168	0.05	*	80.16	3.36	83.11	3.49	2.740	0.01	***																
2 <i>SEB</i>	76.13	2.89	76.72	3.24	0.380	0.80	77.77	3.18	77.83	3.06	0.045	0.98		77.20	3.12	77.26	3.11	0.061	0.98																	
3 <i>AHE</i>	3.06	0.73	5.78	1.33	5.142	0.001	**	3.10	0.79	5.89	1.05	7.400	0.001	***	3.09	0.75	5.83	1.16	9.120	0.00	***															
4 <i>Fetalik doku</i>	83.21	5.01	86.94	4.24	1.618	0.20	86.57	3.05	87.28	2.44	0.592	0.60		85.44	4.05	87.10	3.36	1.400	0.20																	
5 <i>TAHA (BBB)</i>	5.28	1.83	4.67	1.27	0.807	0.50		4.73	1.72	3.94	3.21	0.790	0.50		4.92	1.83	4.30	2.34	0.940	0.40																
6 <i>T-NB (BBB)</i>	6.56	1.24	8.33	1.73	2.394	0.05	*	5.07	1.25	7.22	2.81	2.600	0.02	*	5.59	1.42	7.77	2.23	3.807	0.001	***															
7 <i>ATTS'</i>	6.94	1.72	8.29	1.69	1.750	0.20		7.60	1.37	10.00	1.94	3.570	0.002	**	7.37	1.49	9.19	1.85	3.400	0.001	***															
8 <i>N-Prin-Pg'</i>	128.94	4.20	123.61	5.66	2.182	0.05	*	128.00	4.08	129.22	5.46	0.112	0.95		128.98	4.02	128.41	6.12	1.626	0.20																
9 <i>Sh-Prn</i>	16.25	2.25	17.06	3.07	0.613	0.60		17.80	2.01	14.78	2.28	3.273	0.01	**	17.26	2.18	15.88	2.87	1.758	0.10																
10 <i>UL-E doğrusu</i>	-4.06	2.27	-3.22	2.98	0.644	0.60		-5.97	2.56	-1.22	1.81	4.921	0.001	***	-5.31	2.59	-2.21	2.45	3.890	0.001	***															
11 <i>UL-E doğrusu</i>	-1.19	1.77	-1.67	3.79	0.327	0.80		-2.93	2.05	-0.23	3.13	2.562	0.02	*	-2.32	2.13	-1.00	3.19	1.580	0.20																
12 <i>A-A'</i>	15.69	2.12	14.78	1.39	1.577	0.20		18.70	2.13	18.11	1.64	0.773	0.50		17.65	2.54	16.44	2.26	1.586	0.20																
13 <i>B-B'</i>	12.00	1.51	12.78	1.64	1.073	0.40		13.40	1.28	14.28	2.20	1.247	0.30		12.91	1.44	13.53	2.03	1.220	0.30																
14 <i>P-Pg'</i>	12.75	1.28	14.17	2.89	1.277	0.30		14.37	1.77	14.33	2.99	0.041	0.98		13.81	1.77	14.24	2.86	0.586	0.50																
15 <i>PH-UL-L</i>	-3.75	1.71	-3.33	1.95	0.469	0.70		-3.00	1.38	-3.89	1.76	1.156	0.30		-3.26	1.51	-3.61	1.83	0.672	0.50																

	KIZ												ERKEK												TOPLAM																	
	CL I				CL III				t				P<				test				CL I				CL III				t				P<				test					
	X	S	X	S	X	S	X	S	X	S	X	S	X	S	X	S	X	S	X	S	X	S	X	S	X	S	X	S	X	S	X	S	X	S	X	S						
1 SMA	79.19	3.12	77.10	4.21	1.184	0.30	80.57	3.48	80.42	3.66	0.192	0.90	80.16	3.36	79.02	4.17	1.044	0.40	80.16	3.36	79.02	4.17	1.044	0.40	80.16	3.36	79.02	4.17	1.044	0.40	80.16	3.36	79.02	4.17	1.044	0.40						
2 SES	76.13	2.89	77.27	3.82	0.707	0.50	77.77	3.18	80.36	3.40	2.154	0.05	*	77.20	3.12	79.05	3.66	1.830	0.10	77.20	3.12	79.05	3.66	1.830	0.10	77.20	3.12	79.05	3.66	1.830	0.10	77.20	3.12	79.05	3.66	1.830	0.10					
3 ANS	3.06	0.73	-0.18	1.12	7.108	0.001	***	3.10	0.79	0.06	1.35	7.547	0.00	***	3.09	0.75	-0.04	1.36	9.970	0.001	***	3.09	0.75	-0.04	1.36	9.970	0.001	***	3.09	0.75	-0.04	1.36	9.970	0.001	***	3.09	0.75	-0.04	1.36	9.970	0.001	
4 Sert dokru	83.31	5.01	87.50	3.13	2.245	0.05	*	86.57	3.05	89.86	3.30	2.838	0.01	**	85.44	4.05	88.86	3.38	3.220	0.01	**	85.44	4.05	88.86	3.38	3.220	0.01	**	85.44	4.05	88.86	3.38	3.220	0.01	**	85.44	4.05	88.86	3.38	3.220	0.01	
5 1-NA (mm)	5.28	1.83	7.00	1.55	2.217	0.05	*	4.73	1.72	7.23	2.65	3.063	0.01	**	4.92	1.83	7.13	2.22	3.775	0.001	***	4.92	1.83	7.13	2.22	3.775	0.001	***	4.92	1.83	7.13	2.22	3.775	0.001	***	4.92	1.83	7.13	2.22	3.775	0.001	
6 1-NB (mm)	6.56	1.24	4.73	1.37	3.102	0.01	**	5.07	1.25	4.73	2.36	0.493	0.70	**	5.59	1.42	4.73	1.97	1.735	0.10	**	5.59	1.42	4.73	1.97	1.735	0.10	**	5.59	1.42	4.73	1.97	1.735	0.10	**	5.59	1.42	4.73	1.97	1.735	0.10	
7 ANTR	6.94	1.72	4.32	1.45	3.593	0.01	**	7.60	1.37	6.33	1.76	2.209	0.05	*	7.37	1.49	5.48	1.90	3.834	0.001	***	7.37	1.49	5.48	1.90	3.834	0.001	***	7.37	1.49	5.48	1.90	3.834	0.001	***	7.37	1.49	5.48	1.90	3.834	0.001	
8 N-Per-P'	128.94	4.20	131.86	4.99	2.263	0.05	*	128.00	4.08	130.06	6.32	0.958	0.40	**	128.98	4.02	132.13	5.88	2.159	0.05	*	128.98	4.02	132.13	5.88	2.159	0.05	*	128.98	4.02	132.13	5.88	2.159	0.05	*	128.98	4.02	132.13	5.88	2.159	0.05	
9 SH-PR	16.25	2.25	18.50	2.40	2.070	0.10	**	17.80	2.01	19.35	2.79	1.748	0.10	**	17.26	2.18	18.99	2.62	2.497	0.02	*	17.26	2.18	18.99	2.62	2.497	0.02	*	17.26	2.18	18.99	2.62	2.497	0.02	*	17.26	2.18	18.99	2.62	2.497	0.02	
10 U-E doğrusu	-4.06	2.27	-7.82	3.00	2.968	0.01	**	-5.97	2.56	-7.98	3.29	1.930	0.40	**	-5.31	2.59	-7.39	3.13	2.515	0.02	*	-5.31	2.59	-7.39	3.13	2.515	0.02	*	-5.31	2.59	-7.39	3.13	2.515	0.02	*	-5.31	2.59	-7.39	3.13	2.515	0.02	
11 L-E doğrusu	-1.19	1.77	-4.77	3.01	2.842	0.01	**	-2.83	2.05	-4.08	3.16	1.191	0.30	**	-2.32	2.13	-4.38	3.08	2.685	0.01	**	-2.32	2.13	-4.38	3.08	2.685	0.01	**	-2.32	2.13	-4.38	3.08	2.685	0.01	**	-2.32	2.13	-4.38	3.08	2.685	0.01	
12 A-A'	15.60	2.12	15.50	1.77	0.212	0.90	**	16.70	2.13	20.63	2.13	2.481	0.02	*	17.65	2.54	18.46	3.24	0.862	0.40	*	17.65	2.54	18.46	3.24	0.862	0.40	*	17.65	2.54	18.46	3.24	0.862	0.40	*	17.65	2.54	18.46	3.24	0.862	0.40	
13 B-B'	12.00	1.21	11.95	0.72	0.107	0.95	**	13.40	1.28	12.64	1.26	1.634	0.20	**	12.91	1.44	12.35	1.11	1.538	0.20	*	12.91	1.44	12.35	1.11	1.538	0.20	*	12.91	1.44	12.35	1.11	1.538	0.20	*	12.91	1.44	12.35	1.11	1.538	0.20	
14 P-g-P'	12.75	1.28	12.45	1.99	0.370	0.80	**	14.37	1.77	13.89	1.51	0.799	0.50	**	13.81	1.77	13.26	1.84	1.023	0.40	**	13.81	1.77	13.26	1.84	1.023	0.40	**	13.81	1.77	13.26	1.84	1.023	0.40	**	13.81	1.77	13.26	1.84	1.023	0.40	
15 P-L UL-L	-3.75	1.71	-1.27	1.63	3.204	0.01	**	-3.00	1.38	-1.40	1.27	3.260	0.01	**	-3.26	1.51	-1.34	1.43	4.582	0.001	***	-3.26	1.51	-1.34	1.43	4.582	0.001	***	-3.26	1.51	-1.34	1.43	4.582	0.001	***	-3.26	1.51	-1.34	1.43	4.582	0.001	***

	TOPLAM												ERKEK							
	ERKEK						KIZ						x	s	x	s	x	s		
	x	s	x	s	x	s	x	s	x	s	x	x	x	s	x	s	x	s		
1 SMA	82.50	3.94	77.10	4.21	2.951	0.01	**	83.72	3.08	80.42	3.66	2.260	0.05	*	83.11	3.49	79.02	4.17	3.410	0.002 **
2 S ₂ S	76.72	3.24	77.27	3.82	0.342	0.80		77.83	3.06	80.36	3.40	1.827	0.10		77.26	3.11	79.05	3.86	1.632	0.20 ***
3 A ₂ B	5.78	1.33	-0.18	1.12	10.890	0.001	***	5.89	1.05	0.06	1.35	11.070	0.001	***	5.83	1.16	-0.04	1.36	15.140	0.001 ***
4 Facial açı	86.34	4.24	87.50	3.13	0.340	0.80		87.28	2.44	89.86	3.30	2.030	0.10		87.10	3.36	88.86	3.38	1.702	0.10 ***
5 I-A ₂ A (mm)	4.67	1.27	7.00	1.55	3.620	0.002	**	3.94	3.21	7.23	2.65	2.723	0.02	*	4.30	2.34	7.13	2.22	4.030	0.001 ***
6 T-NB (mm)	8.33	1.73	4.73	1.37	5.202	0.001	***	7.22	2.61	4.73	2.36	2.333	0.05	*	7.77	2.23	4.73	1.97	4.770	0.001 ***
7 A ₂ NF	8.39	1.69	4.32	1.45	2.567	0.02	*	10.00	1.94	6.33	1.76	4.767	0.001	***	9.19	1.95	5.48	1.90	6.311	0.001 ***
8 N-Pm-Pg	123.61	5.66	131.86	4.99	4.306	0.001	***	129.22	5.46	130.86	6.32	0.645	0.60		126.41	6.12	132.13	5.88	3.125	0.01 ***
9 Sm-Pm	17.06	3.07	18.50	2.40	1.180	0.30		14.78	2.28	19.35	2.79	4.146	0.001	***	15.88	2.87	18.90	2.62	3.732	0.001 ***
10 UL-E doğrusu	-3.22	2.99	-7.82	3.00	3.416	0.01	**	-1.22	1.81	-7.08	3.29	4.932	0.001	***	-2.21	2.45	-7.39	3.13	5.875	0.001 ***
11 UL-E doğrusu	-1.67	3.79	-4.77	3.01	2.072	0.10		-0.33	2.13	-4.09	3.16	4.605	0.001	***	-1.00	3.19	-4.38	3.08	3.524	0.002 ***
12 A-A'	14.78	1.39	15.50	1.77	0.991	0.40		18.11	1.64	20.63	2.13	3.038	0.01	**	16.44	2.26	18.46	3.24	2.284	0.05 *
13 B-B'	12.78	1.64	11.95	0.72	1.514	0.20		14.28	2.20	12.64	1.26	2.337	0.05	*	13.53	2.03	12.35	1.11	2.471	0.02 *
14 P-Pg	14.17	2.89	12.45	1.99	1.572	0.20		14.33	2.99	13.89	1.51	0.480	0.70		14.24	2.86	13.28	1.84	1.392	0.20 ***
15 P ₁ UL-LL	-3.33	1.55	-1.27	1.63	2.571	0.02	*	-3.89	1.76	-1.40	1.27	3.957	0.001	***	-3.61	1.83	-1.34	1.43	4.614	0.001 ***

küçük olarak bulunmuş; üst çene basal kai-desinin ön kafa kaidesine göre daha geride konumlandığı belirlenmiş; üst keserlerin da-ha protruśiv, alt keserlerin ise daha retrusiv olduğu saptanmıştır. Yumuşak doku değер-lendirmelerinde ise her üç grupta da Cl III ilişkili bireylerde A'N'B' açısının daha küçük olduğu, üst dudağın E doğrusuna göre daha geride konumlandığı, alt dudağın ise üst du-dağa göre daha önde konumlandığı belirlenmiş; kızlarda ve cinsiyet ayırimı gözetilmeksi-zin oluşturulan grubu ait Cl III ilişkili bireylerin total yüz konveksite açısının dü-zleştigi, erkeklerde ve cinsiyet farki gözetilmek-sizsin oluşturulan Cl III ilişkili bireylerde ise Sn-Prn boyutunun artmış olduğu alt dudağın E doğrusuna göre daha geride konumlandığı, A-A' boyutunun artış, B-B' boyutunun ise azalma gösterdiği saptanmıştır.

TARTIŞMA

Bibby (1), kız ve erkekler arasında açısal ölçümlelerde önemli bir fark olmadığını belirtir-ken; boyutsal ölçümlelerin erkeklerde nazaran kızlarda daha küçük olduğunu saptamıştır. Scheideman ve arkadaşları (13), boyutsal ölçümle aynı görüşü paylaşırken, alt kesici-lerin kızlarda daha protruśiv olduğunu vurgu-lamışlardır. Mamandras (10), alt ve üst dudak kalınlığının erkeklerde kızlara nazaran daha fazla olduğunu belirtmiştir. Gazilerli (5), kızlarda alt ve üst dudağın E doğrusuna göre er-keklerde nazaran daha geride konumlandığını bildirmiştir. Çalışmamızda sadece CL I grubu-na ait kızlarda alt kesici dişlerin protruzyonu belirlenmiş; her üç grupta da kızlarda A-A' boyutunun daha az olduğu saptanmıştır. Di-ğer bulgular ise gruplar arasında farklılık gös-termemektedir.

Giray (7), bireylerde A'N'B' açısının ANB açısı ile uyumlu olarak artış ve azalma gös-terdiğini vurgulamıştır. İşcan ve Gazilerli (9), alt ve üst dudağın E doğrusuna göre İskeletsel Cl III ilişki gösteren bireylerde en geri konumda, iskeletsel Cl II ilişki gösteren bireylerde ise en ileri konumda yer aldığıını bildirmiştir. Park ve Burstone (11), kesici dişlerin konu-muna bağlı olarak dudak pozisyonundan büyük farklılıklar olduğunu saptamışlardır. Araştırmamızın asıl amacını oluşturan karşı-laştırmaların sonucunda Cl II ilişkisinin daha çok üst çeneye bağlı olduğunu; Cl III ilişkisinin ise hem üst çene hem de alt çeneden kaynak-lanlığı saptanmıştır. Çene ucu ise Cl III gru-

bunda en ileri konumdadır. Normal bir over-jet ilişkisi Cl II grubunda alt keser protruzyo-nu sonucunda, Cl III grubunda ise üst keser protruzyonu sonucunda oluşmaktadır.

A'N'B' ölçümü sonucunda iskeletsel ilişki-nin aynı şekilde yumuşak dokuya yansığı gözlenmiştir. Cl III grubundaki Sn-Prn boyutu-nundaki artışın A noktasının daha geride ko-numlanmasına bağlı olarak Sn noktasının da-ha geride yer almasına, bu nedenle burunun sagittal boyutundaki artış varmış gibi bir izle-nimin ortaya çıktıgı kanısındayız. N'PrnPg' açısının Cl III grubunda artmış olması Pg noktasıının daha önde yer almasına bağlıdır. Alt ve üst dudağın E doğrusuna uzaklıği Cl III grubunda en fazla, Cl II grubunda en az ola-rak bulunmuştur. Bu bulgu E doğrusunun Pg noktasının konumundan etkilenmesine bağılı olabilir. Bu etkiyi göz önüne alarak FH ⊥ UL-LL boyutu ölçümü Cl I ve Cl II grupları arasında önemli bir farklılık göstermezken; Cl III grubunda üst dudağa nazaran alt dudağın daha önde yer aldığı saptanmıştır. Ancak bu fark (+) değer alacak kadar önemli bir farklılık değildir. A-A' ve B-B' boyutları Cl I-Cl II ve Cl I-Cl III grupları arasındaki karşılaştırmalarda önemli bir farklılık göstermezken; Cl II-Cl III grupları arasındaki karşılaştırmalarda, Cl III grubunda A-A' boyutunun, Cl II grubunda ise B-B' boyutunun artmış olduğu belirlenmiştir. Bu bulgular yumuşak dokularda bir kompan-zasyon mekanizmasının varlığını ortaya koy-maktadır.

Dişsel Cl I, iskeletsel Cl II ilişkili bireyler-de alt keserlerin, Cl III ilişkili bireylerde ise üst keserlerin protruzyonu sonucu dudakla-rın etkilenmesine, yine Cl II ilişkili bireylerde B-B' boyutundaki, Cl III ilişkili bireylerde ise A-A' boyutundaki artışa rağmen bu iskeletsel ilişkili yumuşak dokulara daha hafif bir sekilde de olsa yansımaktadır. Bu nedenle iskeletsel ilişkisi düzeltmeden yapılan ortodontik teda-vilerde dişsel düzelleme sağlansa da yumuşak doku profilinde tam anlayıla yüz güldürücü sonuçların alınamayacağı göz önünde bulu-durulmalıdır.

YARARLANILAN KAYNAKLAR

1. Bibby RE A Cephalometric Study of Sequal Di-morphism. Am J Orthod 76(3): 256-259, 1979
2. Bishara SE, Hession TJ, Peterson LC Longitu-dinal Softtissue Profile Changes A study of

- Three Analyses. Am J Orthod 88(3): 209-223
1985
3. Cangil SV Biyoloji Tıp ve Eczacılık Bilimlerinde İstatistik Metodları. Sermet Matbaası İstanbul 1975
 4. Diem K, Seldurup J Geigy Scientific Tables Ciba-Geigy Lim. Basle Switzerland 1982
 5. Gazilerli Ü Değişik Cins ve Yaş Gruplarında Ricketts Yumuşak Doku Ölçümleri. A.U.D.F. 9 (1): 15-22 1982
 6. Graber TM Orthodontics Principles and Practice. WB Saunders Company Philadelphia London Toronto 3 Ed 1972
 7. Giray B Gelişim ile Yumuşak Doku Profil Yüz Yapısı. E.Ü.D.F.D, 7(2): 49-50 1986
 8. Holdaway AR A soft-tissue Cephalometric Analysis and Its Use in Orthodontic Treatment Planning Part II. Am J Orthod 85(4): 279-293 1984

9. İşcan H, Gazilerli Ü İskeletsel I II III Sınıf Anomalili Bireylerde Yüz Profili. A.Ü.D.F. 8(2-3): 27-37 1981
10. Mamandras AH Linear Changes of Maxillary and Mandibular Lips. Am J Orthod 94(1): 405-410 1988
11. Park YC, Burstone CJ Soft-tissue Profile-Fallacies of Hard-tissue Standarts in Treatment Planning. Am J Orthod 90: 52-62 1986
12. Salzmann JA Orthodontics in Daily Practice. JB Lippincott Company Philadelphia Toronto 1974
13. Scheideman GB, Bell WH, Legan HL, Finn RA, Reisch JS Cephalometric Analysis of Dentofacial Normals Am J Orthod 78(4): 404-420 1980
14. Uzel İ, Enacar A Ortodontide Sefalometri. Yargıcıoğlu Matbaası Ankara 1984
15. Ülgen M Ortodontik Tedavi Prensipleri. A.Ü. Basımevi Ankara 1983

Yazışma Adresi: Yrd. Doç. Dr. Yaşar GÖYENÇ
Selçuk Üniversitesi
Dişhekimliği Fakültesi
Ortodonti Anabilim Dalı
Kampüs - KONYA